



第六次国际大坝會議論文选集之五

混凝土壩性能的觀測

H · A · 普列奧布拉仁斯基等著

水利水电科学研究院譯

中国工业出版社

目 录

大坝水流脉动压力和振动的試驗室和实地觀測研究.....	2
混凝土坝毀坏后修建工程中的灌浆、排水和变形觀測	
工作.....	22
坝体觀測成果的定量解析法.....	46
应用視准仪量測麥迪生公司坝的位移.....	67
垂綫坐标仪觀測分析研究.....	89
采用埋設內部的垂綫坐标仪量測和分析坝体变形的方法.....	101
用大地測量法确定瑪尔卡巴左坝位移的实測和 計算工作.....	119
利奧佛萊多坝变形觀測所建立的大地三角网.....	135
派夫狄卡杜尔坝初期三角网測量的地球物理說明.....	146
固定测站上的基准仪在用大地測量方法测定 坝体位移中的应用.....	165
提高大坝变形觀測中三角网大地測量精度的基本研究.....	181
拱坝性能的分析方法.....	192
日本大坝结构性能觀測現狀.....	215
須田貝坝性能的觀測.....	267
日本上椎叶拱坝的实測与計算成果的比較.....	271
地基处理过的支墩坝觀測.....	298
卡別列尔混凝土坝的实測結果.....	315
美国壘務局大型混凝土坝結構性能的觀測.....	362

大坝水流脉动压力和振动的 試驗室和实地觀測研究[●]

(苏联)H.A.普列奥布拉仁斯基

摘要

本文提出了水工結構物上水流压力和水力脉动荷載的試驗室和实地觀測的成果，作为在实地情况下由于这种荷載而发生的坝体振动的研究記錄。所获得的脉动压力与水流水力参数，結構物尺寸和設計特征等之間的关系，有助于設計水工結構物时的附加动荷載的确定。

在岩基和半岩基上以及在軟基上实地觀測坝体振动的結果表明，振动的大小与动力荷載的强度及其特性、地基的类型以及决定坝体自振的坝身动力特征有关。

水工結構物由于动水荷載而产生的振动，具有不規則的特性，因而不大可能发展成为共振。

引言

为了更加精密地确定结构的設計方法，可以降低設計的安全系数，亦即使結構物在运用过程中承受較高的允許应力，从而可以給出更为合理和經濟的結構物。然而，应力的增高和构件断面的减小，必須保持在某种限度之内，因为断面减小可能引起結構物的剛度减弱，而剛度的不足又可能是产生危險性振动的原因。

水工結構物实地觀測的某些数据表明，在宣泄大流量时，整个結構物或单独构件都会发生剧烈的振动。

① 本文只討論由于脉动水力荷載引起的结构振动問題，并不考虑地震的問題。

振动的结果就发生裂缝，由此导致结构物的破坏。基础土壤由于振动而另外产生了一巨大的动应力，它能使结构物发生不均匀沉陷和位移。

由于土壤受到連續的振动，土壤的物理性质便有所改变，因而降低了结构的稳定性。

軟基上结构物的振动尤其危险。结构物的振动显然是由于一些单独构件部分上所受的脉动水力荷载而造成的。水流脉动的原因可能是由于流速随时间而改变，真空泡的破灭，通气以及随之发生的掺气，水流連續性受到破坏，漩涡的形成和其分离等。例如在溢流工程中，当水面有水跃衔接現象时，也能发生水流脉动現象。

水流和流量越大，结构物的振动也越剧烈。

进入下游消能工的水流，具有大量的动能，而且运动极不規則，水流特点是在全部水深底面积上有强烈的脉动流速和脉动压力。

当作用在护坦板上的水力荷载的脉动相当强烈时，板便引起振动；此种振动傳到板下的土壤，再經過土壤向各个方向扩散开来，使得整块基础发生振动。

当结构物振动的自然頻率与强迫振动的頻率重合时，结构物的振动可能变得十分剧烈。

为了保証合理的設計和保証加强稳定性与强度的計算，以及为了防止结构物的振动，多年来苏联的一些研究所和高等院校，曾对脉动水力荷载和结构振动进行了全面的室内和实地的觀測研究。

作者在1948年对于结构物整个下游长度中各点的脉动压力，进行了第一次觀測，并且获得了宏观脉动特性的数值分布。这些研究結果特別指出，在某一点所测得的脉动压力数值，可以引伸到点子附近較为有限范围的表面上去。因此，在此以后曾进行了一些研究，以建立构件上点子的脉动压力与全部水力脉动荷载之間的关系。

水流脉动效应与结构振动的一些問題，曾由以下各机构进行研究：全苏水工研究所（A.C.阿別列夫、Д.И.庫明、Н.А.普列奧布拉仁斯基、Г.А.尤底斯基），苏联科学院的各研究所（Д.И.基爾諾斯、В.Г.提希申科、М.С.法米契夫、Д.А.哈林、Э.А.卡尔尼、С.С.朱金諾夫），水电設計院（Л.М.高帕林、Б.Ф.考若洛夫），莫斯科土木工程学院（М.М.格里申、Г.А.泡希金、Н.И.罗贊諾夫），等等。

曾在許多水利樞紐中进行了脉动压力和坝体振动的实地觀測。

在試驗室和实地进行試驗取决于設計和改善电测仪器方面的大量工作，以及在觀測方法方面的进一步发展。

I. 壓力和脉动荷載

A. 試驗室研究

1. 研究方法和仪器

試驗室研究脉动压力和作用于結構物上水力荷載所用的方法，一般是相同的。

問題在于确定脉动特性，亦即为确定結構物在各种运用条件下水流参数的振幅 A' 和频率 n ，即为求解下列一般关系式：

$$A' = f(T_0, q, h, l_0, x, ed, dc, b),$$

$$n = f(T_0, q, h, l_0, x, ed, dc, b),$$

式中 A' ——脉动的最大幅度；

n ——脉动的主频率；

T_0 ——水流的总能量；

q ——单寬流量；

h ——下游水深；

l_0 ——护坦长度；

ed ——消能工；

dc ——几何条件；

b ——上游水流波动；
 x ——坝趾到下游距离。

由于变数过多，問題的求解有很大的困难。因此，只能将問題簡化来求解，首先求解一个水面衔接为临界形式，并无消能工的二元水流体系，此时，

$$A' = f(T_0, q, x),$$

$$n = f(T_0, q, x).$$

为了研究这两个关系式，曾对在稳定流条件下，水面衔接为底部水跃的情形进行了基本試驗。水流从閘門下流出，或經由一个具有实用断面形式的无鼻坎的溢流坝流出。試驗曾在明槽中和压力管道中进行，对流量、水头、坝高以及模型比例尺作了广泛的变化。

只有研究了这种简单关系以后，才能够确定其它因素对脉动的影响，这些因素包括下游水深变化，各种消能工的有效性，三元模型以及水工結構的其他設計特点等。

为了量測脉动压力和脉动荷載，曾用电阻絲量測了因外力而引起的应变，并由此而求得外力的方法。

这种方法的优点在于电阻絲很小，足以用来量測水流底部各单独点的脉动。量測时量測器上的作为接收部分的隔膜，应安装平整，使之与水工結構物表面一致。仪器与电阻絲作为一体的振动频率为每秒 180 次，或者还要高。为了增加低频率情况时量測脉动的精度，仪器中的压缩空气的压力全部或部分抵消了等于常数的靜压力。

模型装置以及单独点子脉动压力的量測并不复杂，但量測作用在一个构件上的全部水力脉动荷載，即使在試驗室試驗的条件下，也有一些困难。困难地方在于必須保証充分高的自然频率。可用悬挂彈簧量測結構部件，而且水流的自然频率应較强迫振动的最高频率为高。如果这些要求不能滿足，则水流系統中可能發生共振，或者慣性力开始作用。

曾对自由水流和压力水流进行脉动压力的量測。压力水流即

为装有閘門的压力管道模型，在閘門附近的断面上曾观测到巨大的脉动压力，而自由水流则为装在明槽中的坝后式护坦底板的模型。

图1示明了明槽中的模型装置，用来研究脉动压力对悬挂弹簧的护坦板所产生的影响〔参考文献15〕。由于护坦板上有着大量的水流，因此所用的弹簧是薄鋼条的拉力弹簧。鋼条的拉力数值约为0.7米/公斤，应变则用直接胶贴在鋼条上的电阻絲来量測。每一块1米长、50厘米宽的护坦板，利用可以调节长度的垂直的悬挂鉸鏈，悬挂在四个鋼条上。今用两个水平电阻絲来量測板所承受的纵向水平应力。护坦板的死荷重和水流作用，使得鋼条适当地伸长和消除鉸中所产生的作用。在板子周围的缝隙处紧贴一层不变形的薄橡皮条。护坦板加上最大水重后在垂直方向的自然频率是110次/秒，而在水平方向的自然频率则是150次/秒。水流系统的自然频率远高于量测的脉动频率，这个事实可以用来对仪器进行靜力率定。所得率定的特性具有綫性关系，而且很稳定。

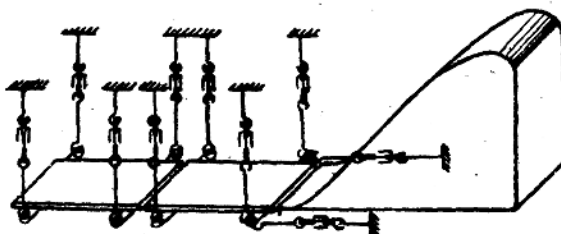


图1 模型装置略图

研究成果的分析工作即用示波仪所得的数值来确定最大脉动幅度(最大脉动幅度为在长期間観察到的最大压力与最小压力的差值和脉动频率)。主频率画出机率分布周期曲线，这样就给出了频率特征曲线。

2. 研究成果

单独点子的脉动压力——法米契夫所作的溢流坝面上脉动压

力的量測實驗指明，由於水流運動平行流線的均勻變化，且不受任何障礙物的干擾，因而即使流速很大，水流中仍只有很小的脈動。

脈動幅度不超過收縮斷面處的流速頭的 5 %。

在水躍銜接的情況中，水流運動極不規則，護坦板上同一點的脈動壓力歷時記錄，顯示出了具有各種極不規則的形狀、大小和周期的非周期振動。

最大的脈動壓力幅度發生在水躍的開始處，其值達到收縮斷面處流速頭的 40 ~ 50 %。下游脈動逐漸減小到等於水面波動的頻率。

根據在臨界狀態 $D = 1$ 及 $F = 20$ 到 60 的水躍進行實驗的結果（此處 $D = h_s/h_{kr}$ 為下游水深對第二銜接水深的比值， $F = \nu_s^2/gh_1$ 為收縮斷面處的福氏數），曾經建立了脈動壓力幅度 A' 與水流基本參數的關係式：

$$\frac{A'}{h_{kr}} = 1.6F^{0.07} \left(\frac{x}{h_{kr}} \right)^{-\frac{4}{3}}$$

此處 $x = 3 - 40h_{kr}$ ， x 為堤趾到下游距離， h_{kr} 為臨界水深。

圖 2 示明了在上述條件下脈動壓力與落差 $Z = T_0 - h_1$ 的關係曲線（其中 h_1 為收縮斷面處水深）。試驗點子十分理想地分布在唯一的曲線上。

曲線表明在臨界狀態下水躍波的底流中，在護坦起點 ($x = 0$)

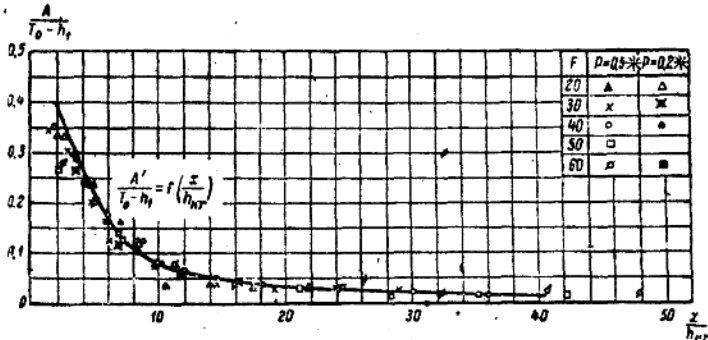


圖 2 脈動壓力幅度與水力參數的關係曲線

$3h_{kr}$) 的脉动压力幅度达到落差的 30~40%；在护坦的末端 ($x=8 \sim 10h_{kr}$) 脉动约为 8~10%；而在 $30 \sim 35h_{kr}$ 以外处， $\frac{A'}{T_0 - h_1}$ 值约为 0.02。因此基本消能区的长度约为 $30 \sim 35h_{kr}$ 。

当闸门开度为 $0.4h$ 时，压力管道中闸门后面的脉动压力达到收缩断面处流速头的 60~70%，在管道底部的脉动压力为顶部脉动压力的两倍，管道壁的曲度随着振动幅度而加大。

脉动组成了一支宽的频率谱，其中主频率约由 5~25 次/秒，频率随着闸门开启度的加大而减小；当开启度不变时，频率则随流量的增多而加大。

水跃淹没度的影响——脉动压力随着水跃淹没程度的增加而减小。相当小的水跃淹没度即 $D=1.1 \sim 1.15$ ，就可降低脉动压幅 20%。当水跃淹没度增加，需要下游水深很深时，则造成

脉动幅度降低很少的后果。

消能工的效果

——护坦上采用消能工，可以减小水跃的淹没深度，因而可以提高护坦高程。在这种情形下消能工起了增加能量消耗及降低消能工后面底部的脉动强度的作用。这是因为消能工使底下的水流翻到上面来，把整个漩涡分散成无数不同方向、不同速度和相互撞击的小漩涡，促使能量损耗，减小脉动幅度，增加脉动频率。图 3 是各种

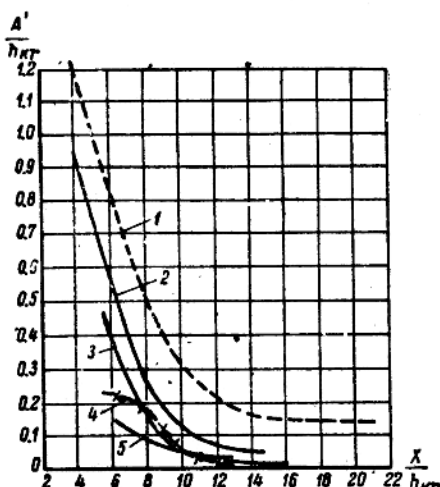


图 3 消能工后面的脉动压力

1—水跃；2—消力塘；3—消力墩；4—齿槛；
5—消能物。

渴，促使能量损耗，减小脉动幅度，增加脉动频率。图 3 是各种

消能工后面的脉动幅度大小的比較曲綫。

总水力荷載的脉动——一定面積上的水力荷載脉動，是與該面積上各個點子的脈動壓力密切有關的。但是在大面積上却有很的平均脈動荷載，這是由於大面積上各個點子的脈動，不論相位和幅度都不相同的結果。今同時觀測裝在斷面起點和終點的儀器，觀測成果表明是不很相同的。這表明脈動荷載的合力可以沿着縱軸移動。莫斯科土木工程研究所的保希金，証實了護坦板的前半部和後半部脈動荷載的時間有着相反的相位趨勢。

根據在臨界水跃 $D = 1$ 的狀態下，護坦表面光滑，在護坦上實測的脈動荷載結果，烏狄斯基（參考文獻15）已經獲得了最大脈動荷載幅度 A 用長度單位

$$\left(\frac{A'}{\gamma} \right) \text{，式中 } S \text{ 是護坦的}$$

面積）表示的關係式：

$$\frac{A}{h_{kp}} = f \left(\frac{T_0}{h_{kr}}, \frac{l_0}{l} \right),$$

式中 $\frac{l_0}{l}$ 是護坦長度 l_0 和水跃長度 l 的比例，按照庫明的數據，即為 $l_0 = 5.67(h_2 - h_1)$ 。此關係式如圖4所示。

今作出脈動在各個時期的分布曲綫，就可以分析脈動荷載的頻率特性。

分布曲綫有一個表示主頻率 n 的最大標誌。當壩高一定時，隨著流量的增加，主頻率反而減少。

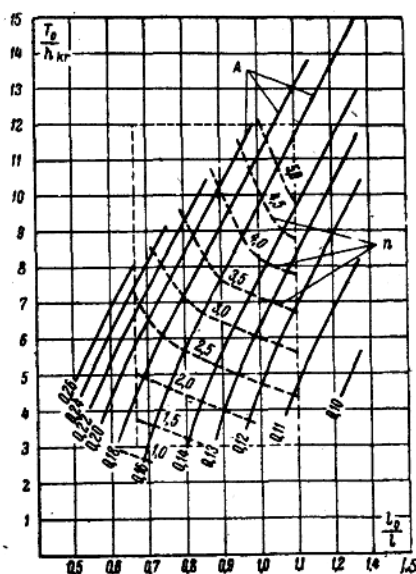


圖4 脈動荷載幅度和頻率與水力參數的關係曲線

主頻率和收縮斷面流速成線性關係。這表明頻率有一個按照史德路卡相似律比擬的自動模擬區。

在同圖(圖4)中示明了用無因次單位表示的主頻率：

$$\frac{V_1}{h_1 n} = f \left(\frac{T_0}{h_{kr}}, \frac{l_0}{l} \right).$$

頻率譜的上界約為主頻率的兩倍，而其下界則比主頻率小10~20倍。脈動最大幅度的特點是週期長，振動頻率低。

最大脈動荷載和平均脈動荷載的比值隨着高壩的流量和水流紊動而增加。在實驗中比值是0.25~0.09。

根據各個點子的對於整個護坦斷面的脈動荷載實際數值而言的脈動壓力，就可求得脈動荷載的水流紊動系數，水流紊動系數是隨流量而增加的，其值等於0.10~0.15。

水躍淹沒度的影響——水躍淹沒度到1.10時，淹沒水躍對於幅度和脈動荷載頻率的影響可以忽略不計，但是如果水躍繼續淹沒到達D=1.50時，脈動幅度降低到11%，脈動幅度降低的原因是低壩宣泄大流量。

頻率脈動和頻率譜的下界所形成的較低的頻率，可以移動到整個漩渦區擺動。非水躍紊流的脈動遠比銜接的臨界相期要小，大約是0.02~0.074。

上游波浪的影響——當上游有波浪時，壩面溢流使得護坦上的脈動有所增加，在水面平靜時，上游周期振動也要增加脈動。隨著水躍淹沒度的增加，將會降低護坦上的水流對於脈動的影響〔參考文獻15〕。

消能工的影響——當護坦上沒有消能工時，除掉垂直脈動分量以外，還有水平脈動分量。當採用分散的消能工時，則垂直脈動分量要比表面光滑的護坦上的垂直脈動分量為小。消能工愈有效，則淹沒水躍的下游水深相應減小愈多，脈動也愈加降低。使用消能工時的主頻率大致上和光滑護坦的相同。水平脈動分量是很小的，但卻顯著地增加了實際剪力的平均荷載(可達20~30%)。

不是連續分散的消能工(如障碍板等), 和光滑的护坦比較起来, 有时垂直脉动分量不是較小, 而是較大。

B. 現場研究和仪器

1. 量测的方法和仪器

在現場情况下, 脉动压力是在个别点子上测得的。所用的全部电测仪器中有光电管, 或感应式和遙控式的电测仪器; 感应膜需要装得与结构物相平。采用感应式仪器, 通过示波仪无需放大器, 就可直接记录讀数。

分析現場研究成果的方法, 一般和实验室研究的方法相同。

2. 現場量测成果

溢流面上的脉动压力——在1938~1940年苏联科学院动力工程研究所在60米高的坝的溢流面上的鼻坎处最大流速的地点(图5), 进行了最早的脉动压力量测工作。确定了动水脉动压力无規則的特性, 并符合于随机值分布而变的正則規律。

脉动是由河床的形状、糙率、障碍物、掺气和水流的不連續性而决定的。对于掺气水流 (F 由40到90, $\frac{A'}{H} = F_0$ 为1到2) 和連續性遭到破坏的水流 (F 在90以上, $F_0 = \frac{A'}{H}$) 則大

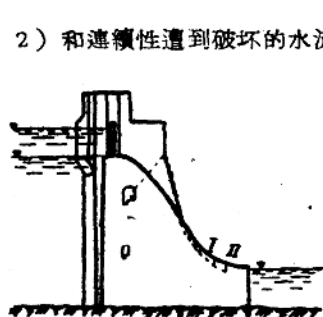


图5 坝体图
I和II—脉动压力的測点。

● 式中 H 是上游水深。

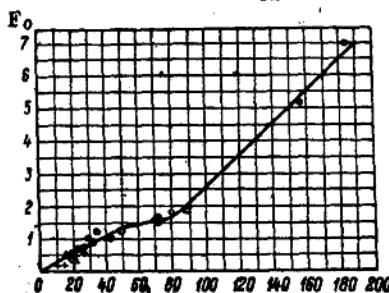


图6 脉动压力 F_0 和 F 的关系曲綫

于3](图6)以及带有不平静的扰动和泡沫的特性的水流，脉动压力是非常不稳定的，具有强烈的明显的点脉动。

最大脉动压力的幅度与流速的平方成正比例，在没有障碍物的均匀断面的水流中，脉动幅度甚小，不超过全部水流能量的5~6%，最大振幅的低频率约为15~30次/秒，而最小振幅的高频率则为50~100次/秒。查努教授认为动水脉动压力仅取决于断面上平均流速的变化，即由流量而决定的。查努求得确定单宽坝体水舌压力分布的分析关系式为(图5，第I、II点)：

$$R_x = \left(\rho Q_2 v_2 + \frac{\gamma}{2} h_2^2 \right) \cos \alpha_2 - \left(\rho Q_1 v_1 + \frac{\gamma}{2} h_1^2 \right) \cos \alpha_1;$$

$$R_y = \left(\rho Q_1 v_1 + \frac{\gamma}{2} h_1^2 \right) \sin \alpha_1 - \left(\rho Q_2 v_2 + \frac{\gamma}{2} h_2^2 \right) \sin \alpha_2;$$

$$M_z(\bar{R}) = \left(\rho Q_2 v_2 + \frac{\gamma}{2} h_2^2 \right) (y_2 \cos \alpha_2 + z_2 \sin \alpha_2) \\ - \left(\rho Q_1 v_1 + \frac{\gamma}{2} h_1^2 \right) (y_1 \cos \alpha_1 + z_1 \sin \alpha_1).$$

查努认为，应当假设脉动频率与结构物的自振频率相同。

在用水跃衔接水流的护坦上的脉动压力——法米契夫在研究了护坦上脉动压力之后认为，脉动幅度的大小大体上决定于流量的情况[参考文献12]。今在宽顶堰上溢流，则在护坦开始地方的脉动幅度为 $0.27 \frac{v^3}{2g}$ ，在护坦末端则为 $0.17 \frac{v^3}{2g}$ 。而当水流经薄壁堰上溢流时，水流狭窄，流量降低，在护坦开始地方的脉动幅度为 $0.2 \frac{v^3}{2g}$ ，在护坦末端则为 $0.11 \frac{v^3}{2g}$ ，至于在水舌跌落处的脉动幅度，则为流速水头的40%。

脉动频率在2.7~3.4次/秒之间变化。

图7列出了在溢流坝护坦上面和护坦下面脉动压力的成果。实测平均水流比能为 $T_e = 21.4$ 米，单宽流量 $q = 23.8$ 平方米/秒，水跃淹没度 $D = 1.5$ ，福氏数 $F = 23.4$ 。

坝身以一小型的鼻坎和护坦相联，并以3米高的溢水墙作为

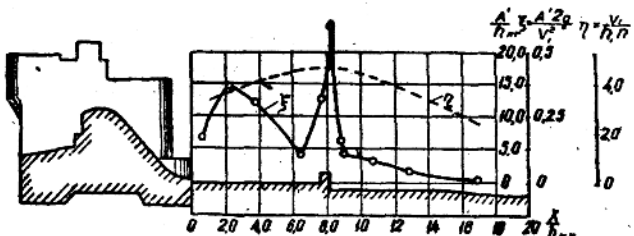


图 7 坝下游的脉动压力

消能工。

附图表明在护坦收缩断面上的脉动压力幅度，从相当于流速水头的35%左右起逐渐降至9%，在消力槛前又增加到\$0.30 \frac{v_1^2}{2g}\$左右。

在消能工墙面上的脉动压力幅度达\$0.54 \frac{v_1^2}{2g}\$，在墙背上约为\$0.10 \frac{v_1^2}{2g}\$，逐渐减小到\$0.01 \frac{v_1^2}{2g}\$。

现场研究成果一般和试验室内的试验资料十分符合。

该坝护坦底板上的总动水荷载在30米长度内约为20吨，在消能工面墙上单宽动水荷载为3吨。

脉动主频率为3至6次/秒，频率谱则高达25次/秒。

C. 动水脉动压力的模型律

在运动相似的紊流中，不但要运动相似，而平均压力场应该相似，并且在相同点上的脉动压力特性亦应相似。按照最大幅度和最佳频率的相似，可以求得脉动压力相似律如下。

因为，假定液体的密度不变，压力幅度的相似性由下列关系式表示：

$$\alpha_{AA'} = \alpha_v^2,$$

式中 \$\alpha_{AA'}\$——压力幅度的比例系数；

\$\alpha_v\$——速度比例系数。

今因 \$\alpha_v = \alpha_i^{\frac{1}{2}}\$，则

$$\alpha_{dA'} = \alpha_1. \quad (1)$$

頻率的比例尺，則隨同步時間的准數而定，亦可直接假定個別振動的周期等於特徵渦與其中心平均流速的比值而求得頻率的比例尺：

$$\alpha_i = \frac{\alpha_1}{\alpha_v}.$$

頻率 n 是周期 $\alpha_n = \frac{\alpha_0}{\alpha_1}$ 的倒數，則由等式 $\alpha_v = \alpha_i^{\frac{1}{2}}$ 得

$$\alpha_n = \alpha_i^{-\frac{1}{2}}. \quad (2)$$

(1)、(2)兩式代表按重力相似律模擬的現象。脉動壓力模型律問題的試驗研究是在縮尺不同而幾何相似的模型中進行的。

圖 8 示明了在 1:1、1:2、1:3 三種比例尺的相似模型上，開下泄流時實測脉動壓力的成果。在 a 圖中脉動壓力幅度是按(1)式關係換算，而應用到大比例模型中去。流量的平方值亦按此式換算。

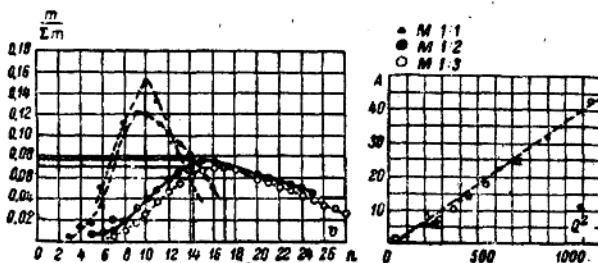


圖 8 脉動壓力和模型比例的關係曲線

(閘門開度: 0.2)

圖中表明試驗測點都落在同一直線上，偏差微不足道，這說明脉動壓力幅度與模型比例尺成正比。

在 b 圖中表明上述按 1:1、1:2、1:3 制成的三種模型，在一定的閘門開度下，其主頻率（最優頻率）的各個比例是 $\sqrt{1}$ 、 $\sqrt{2}$ 、 $\sqrt{3}$ ，即各個模型脉動壓力的主頻率與模型比例的平方根成反比。

法米契夫在现场观测中测得了脉动压力的幅度和频率，并在1:5和1:10模型中进行相同的试验，可用下列无量纲关系式表示：

$$\xi = \frac{A' 2g}{V_1^2} \text{ 和 } \eta = \frac{nh}{\nu_1}.$$

以上两式的曲线如图9所示。这些资料亦显示了动水压力的幅度和频率亦符合重力相似的一般规律。

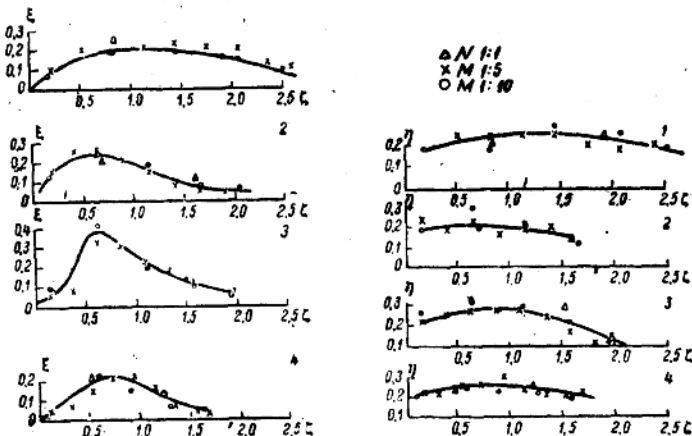


图9 堤下游的脉动压力的现场量测和室内进行的4组试验

$$(\xi = \frac{x}{H}, H \text{ 为上游水深})$$

II. 大坝的振动

1. 量测方法和仪器

大坝的振动问题，从1934年起至1954年在苏联一些水电站上已经进行过研究，这些水电站的水工结构物是建造在岩基和半岩基以及软基上的。

上述研究包括：

(1) 三种相互垂直方向的振动波形、幅度、振动加速度以及

流量增加时的振动过程;

(2) 结构物空间断面上的位移特性;

(3) 坝上振动传布的速度和各个断面振动之间的关系。

为了量测振动，采用了将机械振动转换到电测的各种记录仪器。

同时记录振动的仪器有3个到9个。通常在每点设有3个记录仪器，用来研究和量测垂直方向和水平方向的振动(即为横贯水流和沿着水流运动的方向)。为了确定坝体断面运动状态起见，量测时采用了相同频率特性的各组仪器与一个电流计串联的方法。

2. 量测成果

对在岩基上的混凝土重力坝上面全部溢流、每个溢流坝顶泄流达375立方米/秒时的振动进行了研究，以后并研究了通过四个溢流段泄流3,000立方米/秒时的振动情况。

振动的基本原因是溢流水舌对下游面的冲击，水流能量和质量愈大，则其振动也愈大。坝体部分振动的特性是不规则的谐和振动。振动的大小，与各个高度的测点位置有关。测点离坝基愈高，振动愈大。振动幅度还与坝体构件的结构位置以及所测的振动方向有关。最大的振动发生在最小刚度的方向。幅度较大的振动具有较低的频率。实心坝的坝顶最大振动幅度达 50μ ，其频率约17次/秒。在1955年测量到沿水流方向的振幅为 10μ ，其频率为7~17次/秒。坝墩正面横贯水流方向的振幅为 50μ ，其频率为8~20次/秒。电站引水管的最大支墩振动的幅度达 10μ ，其频率为40~80次/秒。

1954年全苏水工研究院与列宁格勒大学物理研究所合作量测了混凝土溢流坝顶部的振动。坝是修建在半岩基上面的，通过4个 0.5×3 米的临时底孔泄流。当压力水头为40米时，流量为300公方/秒。溢流坝的下游部分承受上游部分土坝的荷载。量测仪器设在闸门操作廊道的地板上，闸门位于基础以上15米处，溢流坝具有40次/秒以上的高振动频率，振幅高达400次/秒，而其振